

## วัตถุประสงค์

1. วิเคราะห์โครงสร้างและความสมมั่นคงเชือสายฝ่ายแม่ระหว่างประชากรที่ศึกษา
2. ประเมินว่าปัจจัยทางด้านภาษาพูดหรือภูมิศาสตร์ส่งผลต่อโครงสร้างและความสมมั่นคงระหว่างประชากรที่ศึกษา

## วิธีการทดลอง

### 1. กลุ่มตัวอย่างและวิธีการเก็บตัวอย่าง

การวิจัยครั้งนี้ได้รับการอนุมัติจากคณะกรรมการจริยธรรมการวิจัยในมนุษย์มหาวิทยาลัยขอนแก่น (รหัสโครงการ HE552167) กลุ่มตัวอย่างที่ใช้ศึกษา คือ กลุ่มชาติพันธุ์ที่อาศัยอยู่ในภาคตะวันออกเฉียงเหนือของประเทศไทย จำนวน 10 กลุ่ม คือ มอญ (MON) เขมร (KHM) ส่วย(SUY) โซ (SOA) ชาวบัน (BON) แสง (SAK) ญือ (YOH) ผู้ไทย (PUT) กะเลิง (KAL) และลาวอีสาน (LAO) โดยประชากรที่ศึกษาสามารถแบ่ง 2 กลุ่มตามภาษาพูด คือ ประชากรที่พูดภาษาตระกูลอสโตรເອເຊີຍຕົກ (AA) (มอญ เขมร ส่วย โซ และชาวบัน) และประชากรที่พูดภาษาไทย-กะ-ໄດ (TK) (แสง ญือ ผู้ไทย กะเลิง และลาวอีสาน) และแบ่งตามลักษณะภูมิศาสตร์ คือ ประชากรที่อาศัยอยู่ในแอ่งที่ราบสกlogen (SK) (โซ แสง ญือ ผู้ไทย และกะเลิง) และประชากรที่อาศัยอยู่ในแอ่งโคราช (KR) (มอญ เขมร ส่วย ชาวบัน และลาวอีสาน) (ตารางที่ 1 และภาพที่ 1)

ก่อนทำการเก็บตัวอย่างจะมีการสัมภาษณ์ประวัติครอบครัว เพื่อคัดกรองอาสาสมัครที่ไม่มีความเกี่ยวข้องกันทางสายเลือด อย่างน้อย 2 ชั้นรุ่น จากนั้นทำการเก็บตัวอย่างทำโดยใช้แปรงเก็บเยื่อบุข้างแก้ม (buccal collection brush) (Qiagen, USA) ถูกที่เนื้อเยื่อบริเวณกระพุ้งแก้มประมาณ 40 ครั้ง

### 2. การสกัดดีเอ็นเอและตรวจสอบคุณภาพและปริมาณของดีเอ็นเอ

นำตัวอย่างเยื่อบุข้างแก้มที่ได้มาสกัดดีเอ็นเอด้วยชุดสกัดดีเอ็นเอสเตอร์เจรูป Gentra Puregene Buccal Cell Kit ดังนี้

2.1 นำตัวอย่างเซลล์เยื่อบุข้างแก้มซึ่งติดมากับแปรงเก็บตัวอย่าง ใส่ลงในหลอดทดลองขนาด 1.5 มิลลิลิตร จากนั้นเติมสารละลาย (cell lysis solution) เพื่อทำให้เซลล์แตก ปริมาตร 300 ไมโครลิตร

2.2 เติมเอนไซม์ proteinase K ปริมาตร 2 ไมโครลิตร เพื่อย่อยโปรตีน

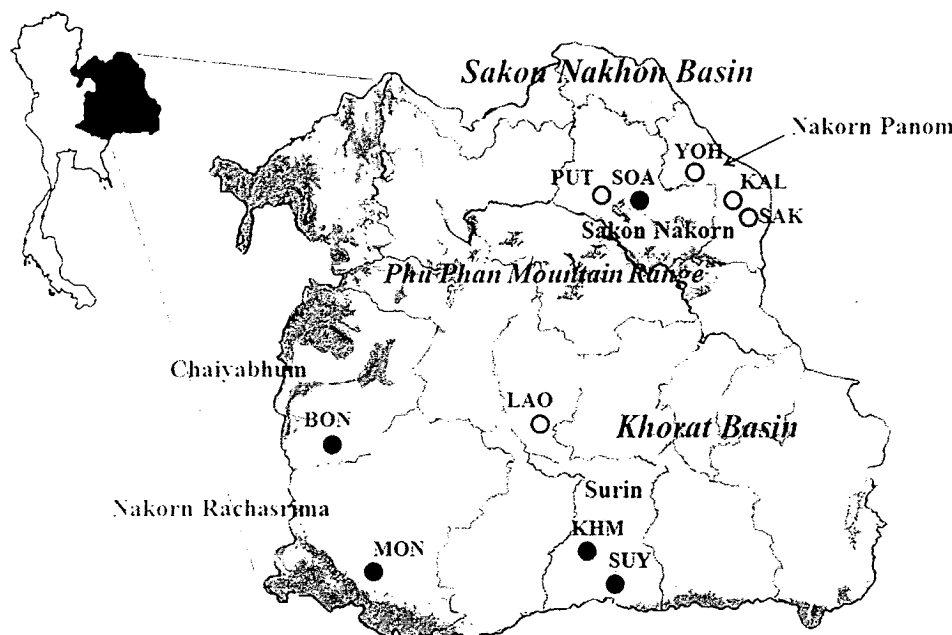
- 2.3 บ่มที่อุณหภูมิ 55 องศาเซลเซียส (ข้ามคืน)
- 2.4 นำแปรรูปเก็บตัวอย่างออกจากหลอดทดลอง เติมเอนไซม์ RNase ปริมาตร 2 ไมโครลิตรเพื่อย่ออาร์เอ็นเอ
- 2.5 บ่มหลอดทดลองที่อุณหภูมิ 37 องศาเซลเซียส 15 นาที พลิกหลอดกลับไปกลับมา 25 ครั้ง
- 2.6 เดิมสารเพื่อตัดกอนโปรตีน (protein precipitation) ปริมาตร 100 ไมโครลิตร เขย่าให้เข้ากันด้วยเครื่อง vortex 20 ครั้ง
- 2.7 บ่มหลอดทดลองในน้ำแข็ง 5 นาที
- 2.8 บีบี้เหลวที่อุณหภูมิ 15,000 รอบ / นาที 5 นาที ในขันตอนนี้ตะกอนที่ได้ (pellet) จะเป็นโปรตีนและเศษเซลล์
- 2.9 เทส่วนสีด้านบน (supernatant) ใส่หลอดทดลองใหม่ จากนั้นเติม isopropanol พลิกหลอดกลับไปกลับมา 50 ครั้ง
- 2.10 บีบี้เหลวที่อุณหภูมิ 15,000 รอบ/นาที 5 นาที
- 2.11 เทส่วนสีด้านบนทิ้ง จากนั้นเติม 70% ethanol ปริมาตร 300 ไมโครลิตร พลิกหลอดกลับไปกลับมา 20 ครั้ง
- 2.12 บีบี้เหลวที่อุณหภูมิ 15,000 รอบ/นาที 5 นาที และทิ้งไว้ให้แห้งที่อุณหภูมิห้อง ในขันตอนนี้ตะกอนที่ได้ (pellet) จะเป็นดีเอ็นเอ
- 2.13 เดิมสารละลายดีเอ็นเอ (DNA hydration) ปริมาตร 100 ไมโครลิตร และเก็บสารละลายดีเอ็นเอที่อุณหภูมิ -20 °C
- 2.14 ตรวจสอบคุณภาพและปริมาณดีเอ็นเอที่สกัดได้โดยวัดค่าการดูดกลืนแสง อัลตราไวโอล็อก ที่ความยาวคลื่น 260 นาโนเมตร และ 280 นาโนเมตร ด้วยเครื่องสเปกโตรโฟโต มิเตอร์และวัดการเรืองแสงของดีเอ็นเอที่จับตัวกับเอธิเดียมโบไมด์หลังจากแยกขนาดดีเอ็นเอโดยวิธีอิเล็กโทรforeชีส โดยใช้วัสดุอะกราฟอสความเข้มข้น ร้อยละ 1

ตารางที่ 1 ข้อมูลทั่วไปของประชากรที่ศึกษาและค่าทางสถิติที่ใช้ในเคราะห์

ประชากร	เขมร	มอง	ส่วย	ชาวบัน	โซ
อักษรย่อ	KHM	MON	SUY	BON	SOA
ละติจูด	14.9	14.69	15.01	15.59	17.37
ลองติจูด	103.49	102.06	103.94	101.46	104.3
ภาษา	AA	AA	AA	AA	AA
ภูมิศาสตร์	KR	KR	KR	KR	SN
ตำแหน่งที่ดัง (อำเภอ, จังหวัด)	สังขะและชุมพลบุรี, สุรินทร์	บักนงชัย, นครราชสีมา	สำโรงทاب, สุรินทร์	เทพสถิตย์, ชัยภูมิ	กุสุมาลย์, สกลนคร
จำนวนด้วยกัน	68	44	44	42	47
ขนาดประชากร	1,266,828	1,000	407,724	6,283	71,532
แอปโลไทป์	37	23	22	12	27
ชนิด Unique	24	19	12	10	16
ชนิด Single unique	20	12	11	6	12
ชนิด Multiple unique	4	7	1	4	4
ชนิด Non-unique	13	4	10	2	11
$h$	0.9583	0.9545	0.9397	0.8583	0.9584
$\pi$	0.013	0.0098	0.0143	0.0121	0.0141
Intra MPD	7.3995	5.5254	8.1057	6.8269	8.0324
Polymorphic site	54	40	47	23	48
Tajima's D (p-value)	-1.0596 -0.137	-1.3277 -0.071	-0.9632 -0.173	1.1116 -0.899	-0.9327 -0.185
Fu's Fs (p-value)	-17.1136 0	-8.3834 -0.008	-3.8913 -0.113	1.4256 -0.761	-8.3333 -0.008
$r$	0.0204	0.0195	0.0332	0.0572	0.0154
AA = Austro-Asiatic linguistic family; TT = Tai-Kadai linguistic family; KR= Khorat Basin; SN = Sakon Nakorn Basin —					
<sup>a</sup> Population size estimated in Northeastern Thailand					
$h$ = haplotype diversity; $\pi$ = nucleotide diversity; $r$ = a raggedness index value					

ตารางที่ 1 (ต่อ) ข้อมูลทั่วไปของประชากรที่ศึกษาและค่าทางสถิติที่ใช้ในเคราะห์

ประชากร	ลาวอีสาน	กู๊ก	ญ้อ	ແສກ	ກະເລີງ
อักษรย่อ	LAO	PUT	YOH	SAK	KAL
ลະຕິຈຸດ	15.62	17.28	17.55	17.45	17.33
ລອງຕິຈຸດ	103.5	103.65	104.09	104.74	104.59
ภาษา	TT	TT	TT	TT	TT
ภูมิศาสตร์	KR	SN	SN	SN	SN
ตำแหน่งที่ดัง (อำเภอ, จังหวัด)	ເກມຕຽວສັຍ, ຮ້ອຍເອົດ	ວາງີ່ງໝີ, ສກລນຄຣ	ນາຫວ້າ, ສກລນຄຣ	ເມືອງ, ນគរພນມ	ກົງຄູ, ນគរພນມ
จำนวนตัวอย่าง	35	38	41	28	46
ขนาดประชากร	11,135,493	457,411	406,738	3,535	68,431
ແອໂປລໄກປ໌	30	23	20	11	21
ชนิด Unique	21	14	9	6	11
ชนิด Single unique	17	10	7	4	9
ชนิด Multiple unique	4	4	2	2	2
ชนิด Non-unique	9	9	11	5	10
$h$	0.9899	0.9573	0.9402	0.792	0.9063
$\pi$	0.0149	0.0153	0.0131	0.0114	0.0115
Intra MPD	8.4924	8.6956	7.4317	6.4929	6.5266
Polymorphic site	54	47	39	33	35
Tajima's D (p-value)	-1.3016 -0.078	-0.8134 -0.227	-0.6458 -0.29	-0.8067 -0.22	-0.5512 -0.317
Fu's Fs (p-value)	-19.0744 0	-5.6044 -0.04	-3.3709 -0.119	0.3691 -0.563	-4.3474 -0.076
$r$	0.0095	0.0108	0.0203	0.0694	0.0399
AA = Austro-Asiatic linguistic family; TT = Tai-Kadai linguistic family; KR= Khorat Basin; SN = Sakon Nakorn Basin					
<sup>a</sup> Population size estimated in Northeastern Thailand					
$h$ = haplotype diversity; $\pi$ = nucleotide diversity; $r$ = a raggedness index value					



ภาพที่ 1 แผนที่ภาคตะวันออกเฉียงเหนือของประเทศไทย และที่ตั้งของประชากรที่ศึกษา ด้วยของประชากรแสดงในตารางที่ 1 ● แสดงประชากรที่พูดภาษาตระกูลอสโตรເອເຊີຍຕົກ ○ แสดงประชากรที่พูดภาษาตระกูลໄທ-ກະໄໄດ

### 3. การเพิ่มขยายชิ้นส่วนของดีเอ็นเอไมโทคอนเดรียด้วยปฏิกิริยาลูกโซ่พอลีเมอเรส (พีซีอาร์)

เพิ่มปริมาณดีเอ็นเอ ไมโทคอนเดรียบริเวณ D-loop ด้วยปฏิกิริยาลูกโซ่พอลีเมอเรส โดยใช้เอนไซม์ *Pfu* DNA polymerase (Enzyomics, Daejeon, Korea) โดยใช้ไฟรเมอร์ 1 คู่ (Schurr et al., 1999) จำเพาะกับบริเวณ D-loop ซึ่งมีลำดับเบสดังนี้

ไฟรเมอร์ LHmt: 430 CTG TTA AAA GTG CAT ACC GCC 410

ไฟรเมอร์ LLmtA: 15704 CAT AGC CAA TCA CTT TAT TG 15723

โดยมีสารในปฏิกิริยาดังนี้

#### ปริมาตร (ไมโครลิตร)

10 X nPfu-Forte PCR buffer (รวม $MgCl_2$ )	5.00
200 ไมโครโมล dNTP	5.00
5 ไมโครโมล ไฟรเมอร์ LHmt	2.50
5 ไมโครโมล ไฟรเมอร์ LLmtA	2.50
2.5 U/ $\mu$ l <i>Pfu</i> polymerase	0.50
50 นาโนกรัม/ไมโครลิตร ดีเอ็นเอ	0.50
น้ำกลั่นปราศจากเชื้อ	34.00
<b>รวม</b>	<b>50.00</b>

ทำปฏิกริยาลูกโซ่พอลีเมอเรสในเครื่องควบคุมอุณหภูมิอัตโนมัติ (Thermal cycler) โดยใช้อุณหภูมิต่างๆ ดังนี้

ช่วงที่ 1 (1รอบ)	95 องศาเซลเซียส	2 นาที
ช่วงที่ 2 (35 รอบ)	95 องศาเซลเซียส	30 วินาที (denaturation)
	56 องศาเซลเซียส	1 นาที (annealing)
	72 องศาเซลเซียส	1 นาที (extension)
ช่วงที่ 3 (1 รอบ)	72 องศาเซลเซียส	5 นาที

จากนั้นตรวจสอบผลผลิตพีซีอาร์ ซึ่งมีขนาดประมาณ 1,200 คู่เบส ด้วยวิธีอิเล็กโโทรโฟเรซ โดยใช้วัสดุของเภาความเข้มข้น ร้อยละ 1 โดยเทียบขนาดผลผลิตพีซีอาร์กับดีเอ็นเอมารดฐาน (DNA ladder) (Norgen Biotek Corp, Thorold Ontario, Canada)

#### 4. หาลำดับเบส

ทำการหาลำดับเบสของผลผลิตพีซีอาร์ โดยใช้ไพรเมอร์ที่จำเพาะอิกคู่ ที่มีลำดับเบสดังนี้

ไพรเมอร์ Forward 15897 (5') GTATAAACTAATACACCAGTCTTGT-15921(3')

ไพรเมอร์ Reverse 100 (5') CAGCGTCTCGCAATGCTATCGCGTG-76(3')

การหาลำดับเบสจะทำการหาลำดับเบสของดีเอ็นเอทั้งสองสาย (สาย H และสาย L) เพื่อเป็นการยืนยันชนิดของเบส โดยส่งผลผลิตพีซีอาร์ไปหาลำดับเบสยังหน่วยบริการ Macrogen กรุงโซล ประเทศเกาหลี โดยใช้ชุดน้ำยาสำเร็จรูป BigDye Terminator Cycle Sequencing Kit v3.1 (Applied Biosystems, USA) และเครื่องหาลำดับเบสอัตโนมัติ รุ่น ABI3730 (Applied Biosystems) ลำดับเบสบริเวณ HVRI จำนวน 433 ตัวอย่างของประชากรที่ศึกษาได้ถูกส่งไปเก็บไว้ในฐานข้อมูล NCBI (The National Center for Biotechnology Information) (accession numbers KJ205639-KJ206068).

#### 5. การวิเคราะห์ข้อมูล

5.1 ทำการ assembly และ alignment ลำดับเบสของดีเอ็นเอไม่โทค่อนเดรียสาย H และ L ด้วยโปรแกรม Seqscape v.2.7 demo (Applied Biosystem)

5.2 วิเคราะห์ลำดับเบสที่มีความหลากหลาย (polymorphic site) ที่ต่างจากลำดับอ้างอิง (Revised Cambridge reference sequence) วิเคราะห์ความหลากหลายของนิวคลีโอไทด์ (nucleotide diversity, π) ด้วยโปรแกรม DNAsp v.5 (Librado and Rozas, 2009)

5.3 วิเคราะห์ความหลากหลายของแฮปโลไทป์ (haplotype diversity,  $h$ ) ชนิดของแฮปโลไทป์ ค่า mean number of pairwise difference (MPD) ค่าพารามิเตอร์ของการเพิ่มจำนวนประชากร (demographic expansion) เช่น raggedness index value ( $r$ ) (Harpending, 1994) และ neutrality test คือ Fu's Fs (Fu, 1997) และ Tajima's D (Tajima, 1989)

5.4 คำนวณหาระยะห่างทางพันธุกรรมระหว่างประชากรแบบ pairwise difference ( $F_{st}$ ) และทดสอบความมีนัยสำคัญด้วยค่า permutations จำนวน 1000 ครั้ง ด้วยโปรแกรม ARLEQUIN v.3.5

และนำเมทริกซ์ของระยะห่างทางพันธุกรรมมาสร้างเป็นแผนภูมิแสดงความสัมพันธ์ทางพันธุกรรมแบบ Multidimensional Scaling (MDS) ด้วยโปรแกรม STATISTICA v.7 (StateSoft Software Ltd.)

5.5 ทำการวิเคราะห์การจัดกลุ่มของประชากรด้วยข้อมูลลำดับเบสและพิกัดทางภูมิศาสตร์โดยวิธี Spatial analysis of molecular variance (SAMOVA) ด้วยโปรแกรม SAMOVA v.1.0 (Reference)

5.6 วิเคราะห์โครงสร้างทางพันธุกรรมของประชากร ด้วยวิธี Analysis of Molecular Variance (AMOVA) (Excoffier *et al.*, 1992) โดยหาค่าความผันแปรทางพันธุกรรมของประชากรทั้ง 3 ระดับ คือ ระหว่างประชากร ระหว่างกลุ่มย่อยในประชากรเดียวกัน และภายในกลุ่มย่อย โดยการทำหนดประชากรตามภาษาพูดและลักษณะทางภูมิศาสตร์ แล้วทดสอบ ค่าความแคล渭มีนัยสำคัญทางสถิติด้วยวิธี non parametric permutation ด้วยโปรแกรม ARLEQUIN v.3.5 (Excoffier and Lischer, 2010) (ตารางที่ 1)

#### 5.7 การทดสอบเมเนเกล (Mantel test)

ทำการทดสอบความสัมพันธ์ระหว่างเมทริกซ์จำนวน 3 คู่ คือระยะห่างทางพันธุกรรมและ ระยะห่างทางภูมิศาสตร์ ระยะห่างทางพันธุกรรมและระยะห่างทางภาษา และระยะห่างทางภูมิศาสตร์ และระยะห่างทางภาษา ด้วยวิธีของเมเนเกล (Mantel, 1967) ตารางที่ 2 จะแสดงระยะห่างทางภูมิศาสตร์และระยะห่างทางภาษา และตารางที่ 3 แสดงระยะห่างทางพันธุกรรมแบบ ( $F_{st}$ )

ตารางที่ 2 ครึ่งล่างชี้แจงแสดงระยะห่างทางภาษา (dLAN) ระหว่างคู่ของประชากร ซึ่งถูกกำหนดด้วย หมายเลย 4 ถึง 1 ตามการจัดกลุ่มภาษาของ Ethnologue (Lewis, 2009) โดยค่า dLAN 4 จะเป็นระยะห่างทางภาษาของตระกูลภาษาที่ต่างกัน (AA and TK); dLAN 3 จะเป็นระยะห่างทางภาษาของ ตระกูลภาษาเดียวกัน แต่ต่างกิ่ง (branch) เช่น MON และ SUY; dLAN 2 จะเป็นระยะห่างทางภาษา ของกิ่งเดียวกัน แต่ต่างกิ่งย่อย (sub-branch); dLAN 1 จะเป็นระยะห่างทางภาษาที่อยู่กิ่งย่อยเดียวกัน ครึ่งบนขวาแสดงระยะห่างทางภูมิศาสตร์ (great-circle distance) ระหว่างคู่ของประชากรโดยจะใช้พิกัด ของละติจูดและลองดิจูดของที่ตั้งหมู่บ้านของแต่ละประชากร

	KHM	MON	SUY	BON	SOA	LAO	PUT	YOH	SAK	KAL
<b>KHM</b>	155.63	50.07	237.46	286.91	79.85	264.69	300.36	312.93	293.54	
<b>MON</b>	3	205.48	118.45	380.8	185.71	333.54	383.36	409.11	397.83	
<b>SUY</b>	2	3	274.47	264.15	82.47	253.75	281.65	283.79	265.91	
<b>BON</b>	3	3	3	361.54	219.26	300.24	354.87	406.89	385.84	
<b>SOA</b>	2	3	1	3	211.57	69.04	29.61	48.38	31.53	
<b>LAO</b>	4	4	4	4	4	1	184.99	222.63	242.41	221.96
<b>PUT</b>	4	4	4	4	4	1	54.84	117.38	99.7	
<b>YOH</b>	4	4	4	4	4	1	1	70.31	58.55	
<b>SAK</b>	4	4	4	4	4	2	2	2	21.41	
<b>KAL</b>	4	4	4	4	4	1	1	1	1	

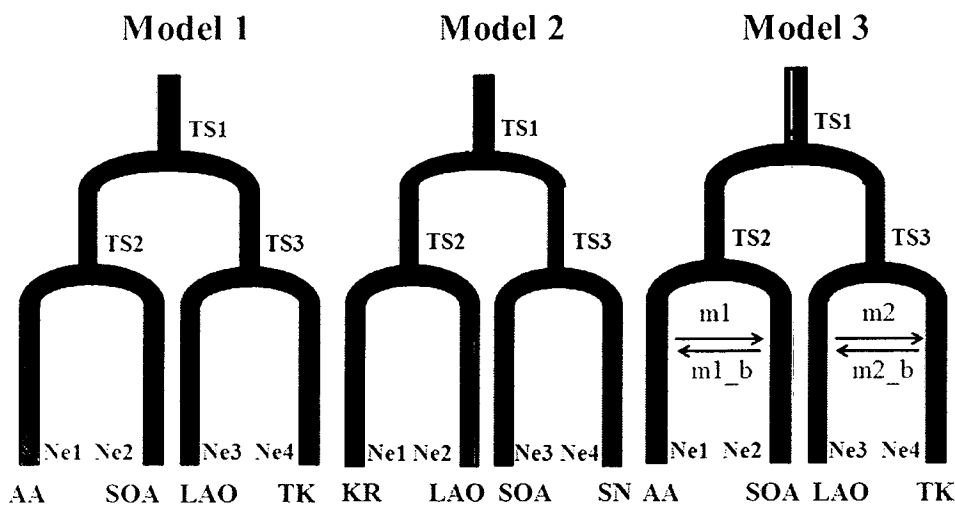
### 5.8 การเลือกโมเดลด้วย Approximate Bayesian Computation

สร้างโมเดลแสดงความสัมพันธ์ทางวิถีของการระหว่างประชากร ดังภาพที่ 2 โดยพิจารณาจากตัวแหน่งที่ตั้งทางภูมิศาสตร์และภาษาพูด โดยประชากรที่เป็นตัวแปรคือโซ่อีโซเอ (SOA) และ ลาวอีสาน (LAO) เนื่องจาก SOA เป็นประชากรที่พูดภาษาตระกูลอสโตรເອເຊີດິກ (AA) เพียงประชากรเดียวที่อาศัยอยู่ในแขวงที่รับสกلنนคร (SN) และ LAO เป็นประชากรที่พูดภาษาตระกูลໄທ-ກະໄໄ (TK) เพียงประชากรเดียวที่อาศัยอยู่ในแขวงที่รับໂຄຣາຊ (KR)

โมเดลที่ 1 แสดงความสัมพันธ์ระหว่างประชากรโดยปัจจัยด้านภาษาส่งผลต่อรูปแบบความสัมพันธ์ โดยประชากร AA และ TK แยกออกจากกันเมื่อระยะเวลา Ts1 และหลังจากนั้นประชากร SOA แยกจากประชากร AA เมื่อระยะเวลา Ts2 และประชากร LAO แยกจาก TK เมื่อระยะเวลา Ts3

โมเดลที่ 2 แสดงความสัมพันธ์ระหว่างประชากรโดยปัจจัยด้านภูมิศาสตร์ส่งผลต่อรูปแบบความสัมพันธ์ โดยประชากรที่อาศัยอยู่ในแขวง SN และ KR ออกจากกันเมื่อระยะเวลา Ts1 และหลังจากนั้นประชากร SOA แยกจากประชากรที่อาศัยอยู่ในแขวง SN เมื่อระยะเวลา Ts2 และประชากร LAO ลาวอีสานแยกจากประชากรที่อาศัยอยู่ในแขวง KR เมื่อระยะเวลา Ts3

โมเดล 3 จะเพิ่มเติมจากโมเดล 1 โดยหลังจากที่ประชากร SOA แยกจาก AA และ LAO แยกจาก TK จากนั้นประชากรที่อยู่ในแขวงเดียวกันจะมีการอพยพเข้าและออกระหว่างกัน กล่าวคือ LAO และ AA จะมีอัตราการอพยพคงที่ ( $m_1$  และ  $m_{1\_b}$ ) และ SOA และ TK จะมีอัตราการอพยพคงที่ ( $m_2$  และ  $m_{2\_b}$ )



ภาพที่ 2 โมเดลแสดงความสัมพันธ์ระหว่างประชากร ซึ่งได้รับอิทธิพลของภาษา (โมเดล 1) ภูมิศาสตร์ (โมเดล 2) และ การอพยพ (โมเดล 3)  $N_e$  Ts และ m คือ effective population sizes ระยะเวลาในการแยกระหว่างประชากร และ อัตราการกลยุบพันธุ์ ตามลำดับ อักษรย่อของประชากรแสดงในตารางที่ 1

ทำการ simulate ข้อมูลของลำดับเบสีดีเอ็นเอในโทคอนเดรียและ prior distributions (ตารางที่ 3) โดยอาศัยทฤษฎีของ coalescent เพื่อให้ได้ค่าทางสถิติที่มีค่าใกล้เคียงกับค่าสังเกตมากที่สุด (มี Euclidean distance น้อยที่สุด) จากนั้นคำนวณ posterior probabilities ด้วยวิธี Approximate Bayesian Computation (ABC) (Bertorelle *et al.*, 2010)

การศึกษาครั้งนี้ใช้ ABC จำนวน 2 รูปแบบ คือ acceptance-rejection procedure (AR) and weighted multinomial logistic regression (LR) (Pritchard *et al.*, 1999; Beaumont, 2008) ในการประเมินความเสถียรของค่า posterior probabilities จะทำการ simulate ข้อมูลหลายครั้ง โดยรูปแบบ AR จะ simulate จำนวน 100 200 300 และ 500 ครั้ง ในขณะที่รูปแบบ LR จะ simulate จำนวน 25000 50000 75000 และ 100000 ครั้ง การ simulate ข้อมูล จะอาศัยโปรแกรม ABC tool box (Wegmann, 2010) จากนั้นทำการเขียน R scripts ซึ่งดัดแปลงมากจาก SG (<http://code.google.com/p/popabc/source/browse/#svn%2Ftrunk%2Fscripts>) เพื่อคำนวณค่า posterior probabilities ของแต่ละโมเดล

จากนั้นทำการประเมินความถูกต้องในการคัดเลือกโมเดลด้วย Type I error โดยจะกำหนดระดับความน่าจะเป็นของการคัดเลือก (decision probability thresholds) คือ 0.5 0.6 0.7 0.8 และ 0.9 เพื่อประสิทธิภาพของวิธี ABC ในการคัดเลือกโมเดล

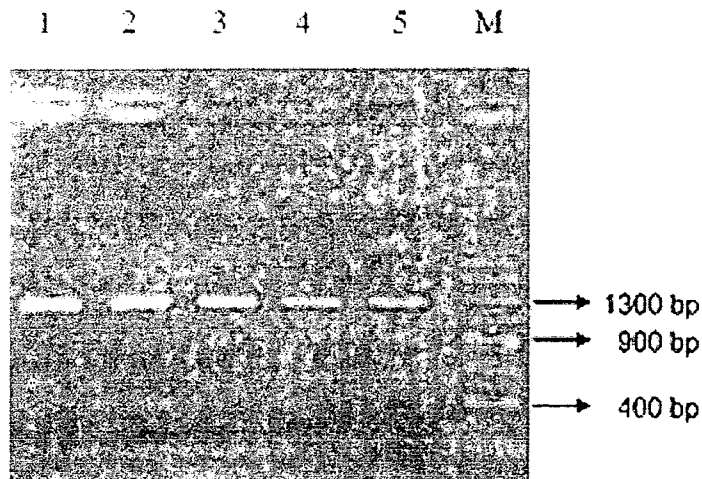
ตารางที่ 3 Prior distributions ของพารามิเตอร์ในแต่ละโมเดล โดย N แสดง effective population sizes T แสดงระยะเวลาในการแยกระหว่างประชากร หน่วยเป็นชั่วโมง และ m แทนอัตราการกลยพันธุ์ หน่วยเป็นต่อเนบส์ต่อชั่วโมง

Parameter	Distribution	Lower limit	Upper limit
N0	logunif	50,000	500,000
N1	logunif	1,000	100,000
N2	logunif	1,000	100,000
N3	logunif	50,000	500,000
T2	unif	10	20
T3	unif	10	20
T1	unif	100	200
Mutation	unif	0.000000878	0.000021
m1	unif	0.001	0.1
m2	unif	0.001	0.1
m1_b	unif	0.001	0.1
m2_b	unif	0.001	0.1

## ผลการทดลอง

### 1. ผลผลิตจากการเพิ่มปริมาณดีเอ็นเอ

จากการเพิ่มปริมาณดีเอ็นเอในโทค่อนเดรียบริเวณ D-loop ได้ขนาดผลผลิตจากการทำปฏิกิริยา ลูกโซ่พอลีเมอเรสประมาณ 1,200 คู่เบส เทียบขนาดกับ 100 bp DNA Ladder (Norgen Biotek Corp, Thorold Ontario, Canada) (ภาพที่ 3)



ภาพที่ 3 ผลผลิตจากการทำปฏิกิริยาลูกโซ่พอลีเมอเรส ช่องที่ 1-5 และ คือ ดีเอ็นเอขนาด 1,200 คู่เบส หลังจากการทำปฏิกิริยาลูกโซ่พอลีเมอเรส ช่อง M คือ 100 bp DNA Ladder

### 2. ความหลากหลายทางพันธุกรรม

เมื่อนำผลผลิตจากการทำปฏิกิริยาลูกโซ่พอลีเมอเรสไปหาลำดับเบส บริเวณ HVR-I ทั้งสาย H และ L และทำการรวมลำดับเบสทั้งสองสายแล้ว จะได้ลำดับเบสที่มีความยาว 596 คู่เบส (ตำแหน่งที่ 16001 ถึง 16596) จากตัวอย่างดีเอ็นเอที่ใช้ศึกษาจำนวน 433 ตัวอย่าง พบแอปโลไทป์ที่แตกต่างกันทั้งหมด 173 แอปโลไทป์ จากตำแหน่งที่เกิดความผันแปร (polymorphic site) ทั้งหมด 135 ตำแหน่ง (ภาคผนวก 1) โดยเป็นแอปโลไทป์ที่พบเพียงตัวอย่างเดียว (single unique) จำนวน 108 แอปโลไทป์ และพบแอปโลไทป์ที่พบมากกว่า 1 ตัวอย่าง แต่พบเพียงประชากรเดียว (multiple unique) จำนวน 34 ตัวอย่าง ส่วนที่เหลืออีก 34 แอปโลไทป์ จะเป็นแอปโลไทป์ที่พบมากกว่า 1 ประชากร (shared haplotypes) โดยประชากรที่มี shared haplotypes จำนวนมากที่สุด คือ ประชากร SOA-PUT จำนวน 6 แอปโลไทป์ ในขณะที่ไม่พบแอปโลไทป์ชนิด shared ระหว่างคู่ของประชากรจำนวน 5 คู่ ดังนี้ MON-

BON, MON-LAO, MON-PUT, BON-KHM และ BON-SOA (ตารางที่ 3) และแอปโอลไทร์ป์นิดที่พบมากที่สุดคือแอปโอลไทร์ป์ที่ 25 (hap25) และ 68 (hap68) ซึ่งพบแอปโอลไทร์ป์ทั้ง 2 จำนวน 20 และ 19 ตัวอย่าง (ภาคผนวก 1 และ 2)

ตารางที่ 4 ครึ่งล่างซ้ายแสดงระดับความหลากหลายทางพันธุกรรมระหว่างประชากร แบบ pairwise  $F_{st}$  และครึ่งล่างขวาแสดงจำนวนแอปโอลไทร์ป์ที่เหมือนกันระหว่างประชากร อักษรย่อของประชากรแสดงในตารางที่ 1

	KHM	MON	SUY	BON	SOA	LAO	PUT	YOH	SAK	KAL
<b>KHM</b>	1	5	0	3	3	3	3	4	0	5
<b>MON</b>	<b>0.1517</b>		1	0	1	0	0	1	1	1
<b>SUY</b>	<b>0.0469</b>	<b>0.1061</b>		1	2	3	1	4	1	3
<b>BON</b>	<b>0.0628</b>	<b>0.1537</b>	0.0403		0	1	1	1	1	1
<b>SOA</b>	<b>0.1006</b>	<b>0.1103</b>	<b>0.1306</b>	<b>0.1792</b>		4	6	5	1	2
<b>LAO</b>	0.0264	0.0897	0.0488	0.0686	<b>0.0513</b>		3	2	2	2
<b>PUT</b>	<b>0.0467</b>	<b>0.0916</b>	<b>0.0744</b>	<b>0.1055</b>	0.0396	0.0260		3	1	1
<b>YOH</b>	<b>0.0537</b>	<b>0.0775</b>	<b>0.0461</b>	<b>0.0851</b>	0.0401	0.0233	0.0326		2	5
<b>SAK</b>	<b>0.2280</b>	<b>0.2979</b>	<b>0.2827</b>	<b>0.3316</b>	<b>0.0632</b>	<b>0.1720</b>	<b>0.1581</b>	<b>0.1781</b>		2
<b>KAL</b>	<b>0.0516</b>	<b>0.2007</b>	<b>0.1230</b>	<b>0.1624</b>	0.0406	0.0503	0.0519	0.0539	<b>0.1184</b>	

ตัวหนาแสดงระดับนัยสำคัญทางสถิติ ที่  $P < 0.01$

เมื่อคำนวณความหลากหลายของแอปโอลไทร์ป์ ( $h$ ) ซึ่งมีค่าสูงสุดในประชากร LAO (0.9899) และต่ำสุดในประชากร SAK (0.7920) ความหลากหลายของนิวคลีโอไทด์ ( $H$ ) มีค่าสูงสุดในประชากร PUT (0.0153) และต่ำสุดในประชากร MON (0.0098) ดังแสดงในตารางที่ 1 ค่าความหลากหลายทั้ง 2 อยู่ในช่วงเดียวกับ ประชากรอื่นในประเทศไทยที่เคยมีการศึกษามาก่อนหน้านี้ (Fucharoen et al., 2001; Besaggio et al., 2007; Lertrit et al., 2008; Kutanan et al., 2011a; Kutanan et al., 2011b)

จากการคำนวณค่า intra-MPD ของประชากร จะมีค่าต่ำสุด ในประชากร MON (5.5254) และสูงสุดในประชากร PUT (8.6956) (ตารางที่ 3) ซึ่งแสดงถึงการมีความเหมือนกันทางพันธุกรรม (genetic homogeneity) หรือการเกิด recent divergence ในตัวอย่างประชากรชาวมอญ ในขณะที่ตัวอย่างในประชากรชาวมอญไทยมีความผันแปรทางพันธุกรรม (genetic heterogeneity) มากที่สุด จากนั้นเมื่อพิจารณาค่า inter-MPD ซึ่ง อยู่ในช่วงระหว่าง 7.2024 ถึง 10.2660 ช่วงดังกล่าวมีค่าสูง เมื่อเปรียบเทียบกับผลการรายงานจากงานวิจัยก่อนหน้านี้ (Bodner et al., 2011) ซึ่งแสดงถึงการมีโครงสร้างทางพันธุกรรมที่แตกต่างกันระหว่างประชากร

ตารางที่ 5 ค่า intra-MPD (เส้นทแยงมุม กรอบสีเหลือง) ค่า corrected MPD (ครึ่งล่างซ้าย) และ ค่า inter-MPD (ครึ่งบนขวา).

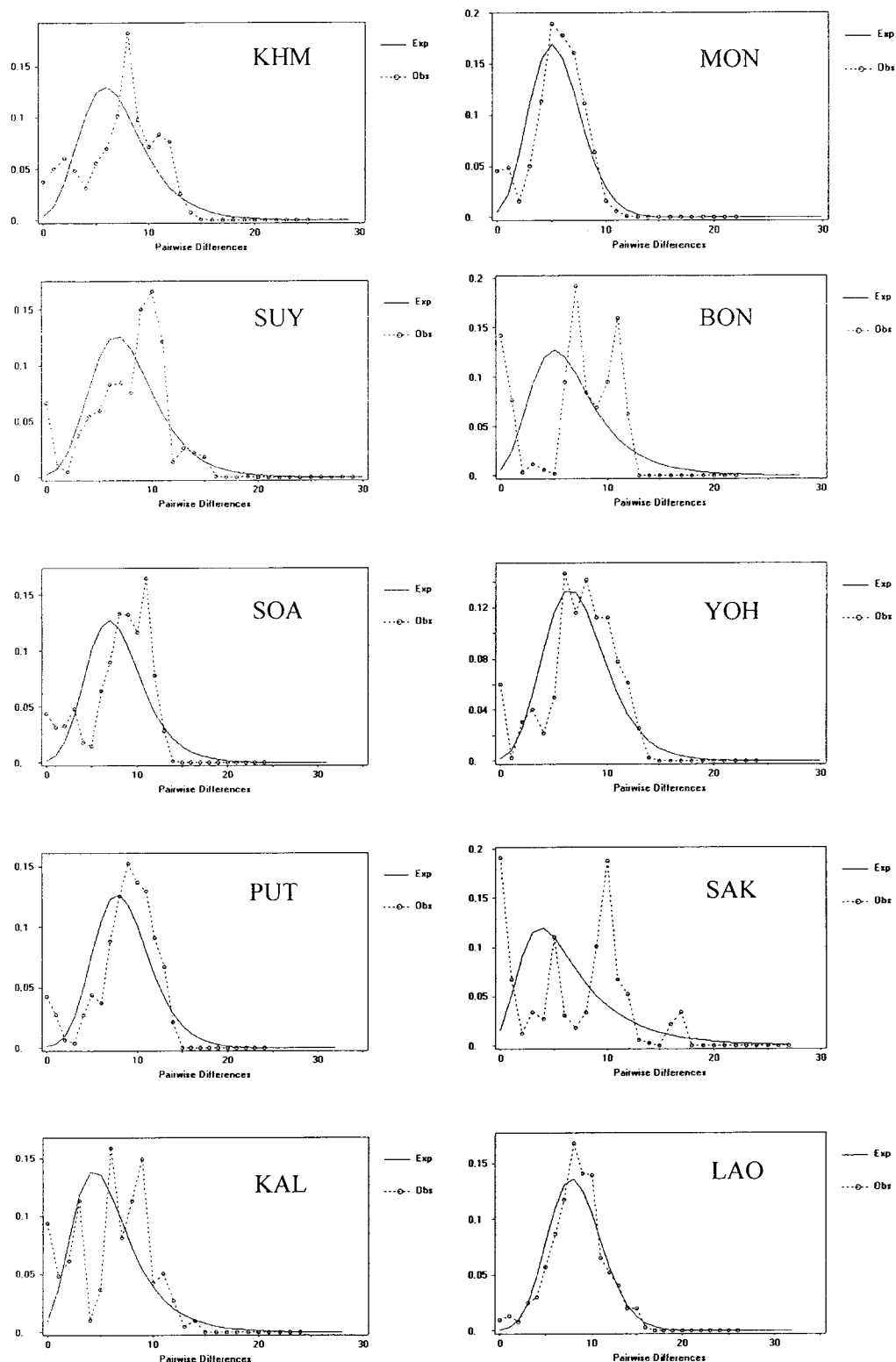
	KHM	MON	SUY	BON	SOA	LAO	PUT	YOH	SAK	KAL
<b>KHM</b>	7.1242	7.4937	7.9806	7.4471	8.4136	8.0042	8.2767	7.6869	8.8677	7.2024
<b>MON</b>	1.1689	5.5254	7.6245	7.2944	7.6267	7.6734	7.8098	7.0183	8.5008	7.5420
<b>SUY</b>	0.3656	0.8089	8.1057	7.7808	9.2810	8.7221	9.0730	8.1452	10.2660	8.3389
<b>BON</b>	0.4715	1.1182	0.3145	6.8270	9.0613	8.2143	8.6686	7.7921	9.9841	7.9695
<b>SOA</b>	0.8353	0.8478	1.2119	1.6316	8.0324	8.7058	8.7055	8.0566	7.7794	7.5883
<b>LAO</b>	0.1959	0.6645	0.4230	0.5546	0.4434	8.4924	8.8233	8.1484	9.0857	7.8932
<b>PUT</b>	0.3668	0.6993	0.6723	0.9073	0.3415	0.2293	8.6956	8.3331	9.0682	8.0172
<b>YOH</b>	0.4089	0.5398	0.3765	0.6628	0.3245	0.1864	0.2695	7.4317	8.4986	7.3743
<b>SAK</b>	2.0591	2.4917	2.9667	3.3242	0.5167	1.5931	1.4740	1.5364	6.4929	7.3849
<b>KAL</b>	0.3770	1.5160	1.0228	1.2927	0.3089	0.3837	0.4061	0.3952	0.8751	6.5266

### 3. ค่าพารามิเตอร์ของการเพิ่มจำนวนประชากร

การกระจายของจำนวนเบสที่แตกต่างกัน (mismatch distribution) เป็นการวิเคราะห์จากการเพิ่มจำนวนของประชากรอย่างรวดเร็วในอดีต (rapid population expansion) โดยแสดงจากราฟการกระจายของจำนวนเบสที่แตกต่างกันระหว่างแฮปโลล่าปั๊บแต่ละคู่ในประชากรนั้น ถ้ากราฟจะเป็นรูปะรังค์กว่า มีจุดสูงสุดเพียงจุดเดียว (unimodal, smooth bell shape) และการมีค่า raggedness index น้อยกว่าหรือเท่ากับ 0.03 รวมทั้งการมีค่า neutrality ติดลบ จะหมายถึงการมีจำนวนประชากรเพิ่มขึ้นอย่างรวดเร็วในประชากรนั้น แต่ถ้าลักษณะของกราฟมีการกระจายตัวแบบไม่สม่ำเสมอ (multimodal, ragged) มีจุดสูงสุดมากกว่า 1 จุด มีค่า raggedness index มากกว่า 0.03 และค่า neutrality เป็นบวกจะบ่งบอกถึงการมีจำนวนประชากรที่คงที่มาเป็นระยะเวลาระยะนาน

ภาพที่ 4 แสดงกราฟการกระจายของจำนวนเบสที่แตกต่างกัน ซึ่งเป็นกราฟจะเป็นรูปะรังค์กว่า มีจุดสูงสุดเพียงจุดเดียว ของประชากรชาวน KHM MON SOA PUT และ LAO และค่า raggedness index ของประชากรทั้ง 3 มีค่าน้อยกว่า 0.03

Neutral test เป็นการวิเคราะห์การคงที่และเพิ่มขยายของขนาดประชากร โดยมีการตั้งสมมุติฐาน (null hypothesis) ที่ว่าประชากรมีขนาดคงที่ (constant effective population size) ผลจาก การวิเคราะห์ neutrality test ด้วยค่า Fu's  $F_s$  และ Tajima' D พนว่าค่า Fu's  $F_s$  ในประชากร KHM MON SOA LAO และ PUT มีค่าติดลบอย่างมากและมีนัยสำคัญทางสถิติ ( $P < 0.05$ ) (ตารางที่ 1) จาก การคำนวณ neutrality test พนว่าปฏิเสธ null hypothesis แม้ว่าค่า Tajima' D จะไม่มีนัยสำคัญทางสถิติ (ดูอักษรย่อของประชากรในตารางที่ 1)



ภาพที่ 4 กราฟการกระจายของจำนวนเบสที่แตกต่างกันในแต่ละประชากรภายในเดล population growth-decline

#### 4. ความสัมพันธ์ระหว่างประชากร

ตารางที่ 3 แสดงระยะห่างทางพันธุกรรมแบบ pairwise difference ( $F_{st}$ ) และความแตกต่างอย่างมีนัยสำคัญทางสถิติ จากการเปรียบเทียบประชากรจำนวน 45 คู่ พบร่วมจำนวน 36 คู่ (80%) ที่แตกต่างอย่างมีนัยสำคัญทางสถิติ ( $P < 0.01$ ) ค่า  $F_{st}$  ที่มีค่าสูงและมีนัยสำคัญทางสถิติแสดงถึงความแตกต่างทางพันธุกรรมระหว่างคู่ของประชากรนั้น ซึ่งพบว่าค่า  $F_{st}$  ระหว่างประชากร MON BON และ SAK กับประชากรอื่นที่เหลือมีค่าสูงและมีนัยสำคัญทางสถิติ ในขณะที่ค่า  $F_{st}$  ระหว่างประชากร KHM กับประชากรอื่นที่เหลือมีค่าสูงและมีนัยสำคัญทางสถิติ ยกเว้นระหว่างประชากร KHM กับ LAO นอกจากนั้น SUY และ BON มีค่า  $F_{st}$  ต่ำและไม่มีนัยสำคัญทางสถิติ ซึ่งแสดงถึงการมีโครงสร้างทางพันธุกรรมที่เหมือนกันระหว่างประชากร KHM กับ LAO และ SUY กับ BON เป็นที่น่าสนใจว่าประชากรที่อาศัยอยู่ในแองกรีบสกอลนคร (SK) มีค่า  $F_{st}$  ที่แตกต่างกันอย่างไม่มีนัยสำคัญ SOA PUT และ YOH ซึ่งแสดงถึงการมีโครงสร้างทางพันธุกรรมที่เหมือนกัน ซึ่งอาจเกิดจากยีนโพลัวระหว่างประชากรในแองกรีบสกอลนคร

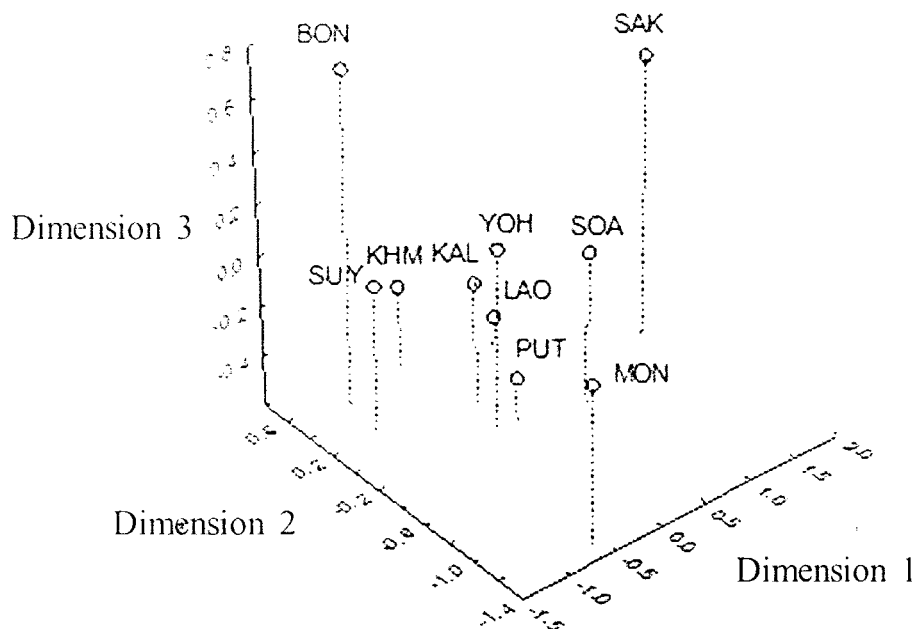
รูปแบบของความแตกต่างทางพันธุกรรมระหว่างประชากร จากการคำนวณค่า  $F_{st}$  และ corrected MPD มีความสอดคล้องกัน (ตารางที่ 4) โดยช้า SAK มีโครงสร้างทางพันธุกรรมที่แตกต่างจากประชากรอื่นมากที่สุด รองลงมาคือ BON MON และ SUY ตามลำดับ

เมื่อนำมาทริกซ์ของระยะห่างทางพันธุกรรมมาสร้างเป็นแผนภูมิแสดงความสัมพันธ์ทางพันธุกรรมแบบ multidimensional scaling (MDS) แบบ 3 มิติ เพื่อหาความสัมพันธ์ทางเชื้อสายระหว่างประชากร (ภาพที่ 5) พบร่วมประชากรที่อาศัยอยู่ในแองกรีบสกอลนครเกือบทั้งหมด ยกเว้นช้า SAK (YOH PUT SOA และ KAL) ถูกจัดอยู่ในกลุ่มเดียวกัน ซึ่งอยู่ตรงตำแหน่งตรงกลางของแผนภูมิ การที่ประชากรมีตำแหน่งที่ใกล้กันในแผนภูมิ แสดงถึงการมีความใกล้ชิดกันทางพันธุกรรม ประชากร SAK ที่มีตำแหน่งบนแผนภูมิห่างออกไป ซึ่งแสดงถึงการมีโครงสร้างทางพันธุกรรมที่แตกต่างไปอย่างมาก อย่างไรก็ตาม SAK แสดงความใกล้ชิดทางพันธุกรรมระหว่างประชากรในแองกรีบสกอลครามากกว่า แองกรีบโคราช (KR) เป็นที่น่าสนใจว่าแม้ว่าประชากร LAO จะอาศัยอยู่ในแองกรีบโคราช แต่ช้า LAO กลับถูกจัดอยู่ในกลุ่มเดียวกับประชากรในแองกรีบสกอลคร (SN) เมื่อพิจารณาประชากรที่อาศัยอยู่ในแองกรีบโคราชพบว่า KHM มีพันธุกรรมใกล้ชิดกับช้า SUY และ BON ในขณะที่ MON มีตำแหน่งที่ไกลออกไปจากประชากรอื่นในแผนภูมิ ซึ่งแสดงถึงการมีพันธุกรรมที่แตกต่างออกไป

ผลการวิเคราะห์การจัดกลุ่มประชากรด้วยวิธี SAMOVA (ตารางที่ 5) พบร่วมจากการกำหนดกลุ่มของประชากร ด้วยการเพิ่มจาก 2 กลุ่ม ไปจนถึง 6 กลุ่ม ประชากรที่แยกออกจากประชากรอื่นประชากรแรก คือ SAK (2 กลุ่ม) จากนั้นเป็นประชากร MON (3 กลุ่ม) SUY (4 กลุ่ม) BON (5 กลุ่ม) และ KHM (6 กลุ่ม) ซึ่งการที่ประชากรได้แยกออกจากประชากรแรกจะแสดงการมีความแตกต่างทางพันธุกรรมจากประชากรอื่นอย่างมาก จากนั้นเมื่อเพิ่มจำนวนกลุ่มสูงขึ้นประชากรที่แยกออกจากกันจะมีความแตกต่างทางพันธุกรรมลดลงตามลำดับ จากการวิเคราะห์ความผันแปรทางพันธุกรรมระหว่างกลุ่มประชากร ( $F_{ct}$ ) พบร่วมมีค่าสูงสุดเมื่อการแบ่งกลุ่มประชากรที่ 6 กลุ่ม ( $0.0728, P < 0.01$ ) ซึ่งกลุ่ม

หัว 6 ประกอบด้วย กลุ่ม 1: SAK กลุ่ม 2: MON กลุ่ม 3: SUY กลุ่ม 4: BON กลุ่ม 5: KHM กลุ่ม 6: YOH PUT SOA KAL และ LAO

ซึ่งการที่ประชากร SAK MON SUY BON และ KHM แยกอยู่คนละกลุ่มแสดงถึงการมีพันธุกรรมที่แตกต่างกัน ในขณะที่ประชากร YOH PUT SOA KAL และ LAO ถูกจัดอยู่ในกลุ่มเดียวกัน แสดงถึงการมีพันธุกรรมที่คล้ายกัน ซึ่งผลของ SAMOVA มีความสอดคล้องกับ MDS



ภาพที่ 5 แผนภูมิแสดงความสัมพันธ์ทางพันธุกรรมแบบ multidimensional scaling (MDS) ที่สร้างจาก  
ระยะห่างทางพันธุกรรมแบบ pairwise difference ( $F_{st}$ ) อักษรย่อของประชากรแสดงในตารางที่ 1

ตารางที่ 6 การวิเคราะห์ SAMOVA อัकเซรย์ของประชากรแสดงในตารางที่ 1

จำนวนกลุ่ม	สมาชิกของประชากรในแต่ละกลุ่ม										$F_{ct}$					
2	SAK	KHM,MON,SUY,BON,SOA,LAO,PUT,YOH,KAL										0.1276				
3	SAK	MON	KHMSUY,BON,SOA,LAO,PUT,YOH,KAL										0.0849			
4	SAK	MON	SUY, BON	KHM,SOA,LAO,PUT,YOH,KAL										0.0809		
5	SAK	MON	SUY,B ON	KHM	SOA,LAO,PUT,YOH,KAL										0.0713	
6	SAK	MON	SUY	BON	KHM	SOA,LAO,PUT,YOH,KAL										0.0728
7	SAK	MON	SUY	BON	KHM	SOA, KAL	LAO,PUT,YOH						0.0693			
8	SAK	MON	SUY	BON	KHM	SOA	KAL	LAO,PUT, YOH					0.0702			
9	SAK	MON	SUY	BON	KHM	SOA	KAL	YOH	LAO,	PUT			0.0664			

## 5. ความสัมพันธ์ระหว่างพันธุกรรม ภูมิศาสตร์ และภาษาพูด

เมื่อวิเคราะห์โครงสร้างและความแตกต่างทางพันธุกรรมด้วยวิธี AMOVA (ตารางที่ 6) โดยทำการแบ่งกลุ่มประชากรตามภาษาพูด (AA และ TK) และลักษณะทางภูมิศาสตร์ (SN และ KR) เมื่อพิจารณาค่าความผันแปรทางพันธุกรรมระหว่างกลุ่มประชากร พบว่าความผันแปรระหว่างกลุ่มประชากร สอดคล้องกับการแบ่งกลุ่มตามลักษณะทางภูมิศาสตร์ ( $F_{ct} = 0.0468, P < 0.01$ ) เมื่อพิจารณาประชากร ในแต่ละกลุ่มภูมิศาสตร์พบว่าความผันแปรระหว่างประชากร (among populations,  $F_{st}$ ) ในแต่ละกรุงศรีฯ ( $F_{st} = 0.06902, P < 0.01$ ) และแอ่งโคราช ( $F_{st} = 0.07900, P < 0.01$ ) มีค่าน้อยกว่าความผันแปรระหว่างประชากรรวม (overall  $F_{st} = 0.09889, P < 0.01$ ) จากผลดังกล่าวแสดงถึงประชากรที่อาศัยอยู่ในแต่ละภูมิศาสตร์มีความใกล้ชิดทางพันธุกรรม โดยประชากรในแอ่งที่ราบสกุลครมีความใกล้ชิดกันมากกว่าประชากรในแอ่งที่ราบโคราช

แต่เมื่อพิจารณากลุ่มประชากรตามภาษาพูด พบว่าความผันแปรระหว่างกลุ่มประชากรไม่สอดคล้องกับการแบ่งกลุ่มตามภาษาพูด ( $F_{ct} = 0.00913, P > 0.01$ ) ซึ่งความผันแปรทางพันธุกรรมส่วนใหญ่ (ร้อยละ 89.74) เกิดขึ้นภายในกลุ่มประชากร ( $F_{sc} = 0.09434, P < 0.01$ ) ในขณะที่ ความผันแปรทางพันธุกรรมอีกร้อยละ 9.35 เกิดขึ้น ระหว่างประชากร ( $F_{st} = 0.10260, P < 0.01$ ) โดยประชากร AA มีค่าความผันแปรทางพันธุกรรม ( $F_{st} = 0.10681, P < 0.01$ ) มากกว่า TK ( $F_{st} = 0.07820, P < 0.01$ ) ซึ่งแสดงถึงการมีโครงสร้างทางพันธุกรรมที่ต่างกันอย่างมากของประชากรที่พูดภาษาตระกูลมอญเช่นมากกว่าไทย-กะได

การทดสอบเมเนเกลเพื่อวิเคราะห์ correlation test และ partial correlation test ระหว่างเมทริกซ์ของระยะห่างทางพันธุกรรม (ตารางที่ 3) ระยะห่างทางภาษา และระยะห่างทางภูมิศาสตร์ (ตารางที่ 2) ผลการศึกษาพบว่า ระยะห่างทางพันธุกรรมสอดคล้องกับระยะห่างทางภูมิศาสตร์ [correlation test ( $r = 0.4713, P < 0.01$ ) และ partial correlation test ( $r = 0.4449, P < 0.01$ )] แต่พบว่า ระยะห่างทางพันธุกรรมไม่สอดคล้องกับระยะห่างทางภาษา [correlation test ( $r = 0.1735, P > 0.01$ ) และ partial correlation test ( $r = 0.0008, P > 0.01$ )] นอกจากนั้นยังพบว่า ระยะห่างทางภาษา และระยะห่างทางภูมิศาสตร์ไม่สอดคล้องกัน [ (correlation ( $r = 0.3667, P > 0.01$ ) และ partial correlation ( $r = 0.3281, P > 0.01$ )]

ตารางที่ 7 การวิเคราะห์ AMOVA อัកษรย่อของประชากรแสดงในตารางที่ 1

	จำนวน กลุ่ม	จำนวน ประชากร	ระดับความผันแปร (ร้อยละ)			$F_{st}$	$F_{sc}$	$F_{ct}$
			a	b	c			
ภูมิศาสตร์								
ทุกประชากร	1	10	90.11	9.89		<b>0.09889</b>		
SN	1	5	93.10	6.90		<b>0.06902</b>		
KR	1	5	92.10	7.90		<b>0.07900</b>		
SN/KR	2	10	88.235	7.081	4.684	<b>0.11765</b>	<b>0.07429</b>	<b>0.04684</b>
ภาษา								
ทุกประชากร	1	10	90.11	9.89		<b>0.09889</b>		
TT	1	5	92.18	7.82		<b>0.07820</b>		
MK	1	5	89.32	10.68		<b>0.10681</b>		
TT/MK	2	10	89.74	9.35	0.91	<b>0.10260</b>	<b>0.09434</b>	0.00913

ตัวหนาแสดงระดับนัยสำคัญทางสถิติ ที่  $P < 0.01$

a = ภายในแต่ละประชากร; b = ระหว่างประชากรภายในกลุ่มเดียวกัน; c = ระหว่างกลุ่มของประชากร

$F_{st}$  = Fixation index among populations and groups

$F_{sc}$  = Fixation index among populations but within groups

$F_{ct}$  = Fixation index among groups

AA = Austro-Asiatic linguistic family; TT = Tai-Kadai linguistic family; KR= Khorat Basin; SN = Sakon Nakorn Basin

## 6. การตัดเลือกโมเดล

ตารางที่ 8 แสดงค่า posterior probability ของแต่ละโมเดลซึ่งแสดงความสัมพันธ์ทางวิัฒนาการของประชากรที่ศึกษา (ภาพที่ 2) โดยโมเดล 2 ซึ่งเป็นโมเดลที่อธิบายถึงความผันแปรทางพัฒนารูปของประชากรที่ศึกษาได้รับอิทธิพลจากภูมิศาสตร์ มีค่า posterior probability สูงสุด (มากกว่าร้อยละ 87) เมื่อคำนวณด้วยวิธี AR และ LR ในทุกระดับ threshold ซึ่งแสดงถึงการสนับสนุนโมเดลที่ 2

ตารางที่ 8 ค่า posterior probabilities ในแต่ละโมเดล จากการคำนวณด้วยวิธี acceptance-rejection procedure (AR) และ weighted multinomial logistic regression (LR)

Threshold	Model 1	Model 2	Model 3
AR			
100	0.090	<b>0.910</b>	0.000
200	0.070	<b>0.910</b>	0.020
300	0.077	<b>0.907</b>	0.017
500	0.078	<b>0.904</b>	0.018
LR			
25000	0.009	<b>0.873</b>	0.118
50000	0.006	<b>0.870</b>	0.124
75000	0.005	<b>0.883</b>	0.112
100,000	0.004	<b>0.906</b>	0.090

ผลการคำนวณ type I error เพื่อประเมินว่าข้อมูลและวิธีการที่นำคัดเลือกโมเดลน่าเชื่อถือได้หรือไม่ เนื่องจากโมเดลทั้ง 3 แบบ ค่อนข้างคล้ายกันและข้อมูลพัฒนาศูนย์มีเพียงดีเอ็นเอในโถคอนเดรีย ซึ่งมีการถ่ายทอดในรูปแบบแอโนปลไบป์จึงถูกพิจารณเป็นเพียงเครื่องหมายทางพัฒนารูป 1 ตำแหน่ง โดยจะคำนวณ type I error ทั้งวิธี AR และ LR และจะใช้ระดับของ probability threshold ตั้งแต่ 0.5 ถึง 1 ผลการศึกษา (ตารางที่ 8) จากการทำ simulation จำนวน 50,000 ครั้ง พบร่วมค่า probability of recognize the right model ของวิธี LR สูงกว่า AR โดยเฉพาะเมื่อเพิ่มระดับของ probability threshold ให้สูงขึ้น แต่อย่างไรก็ตามทั้ง 2 วิธี (LR และ AR) จะมีค่า probability of recognize the right model ระดับสูง (มากกว่า 0.6) เมื่อค่า decision probability threshold เท่ากับ 0.5 และเมื่อโมเดลที่ถูกต้องไม่ถูกเลือก (not assigned) ค่า probability of recognize the right model มีค่าสูงมากโดยเฉพาะเมื่อระดับ decision probability threshold มีค่าสูง (0.9) ซึ่งแสดงถึงประสิทธิภาพของวิธี ABC ที่ใช้ว่าสามารถตัดสินใจได้ถูกต้อง

ตารางที่ 8 ผลการคำนวณ type I error สำหรับโมเดลทางวิัฒนาการที่ได้จากการวิเคราะห์ ABC

AR					LR					
probability threshold	probability of recognize the right model				probability threshold	probability of recognize the right model				
	Model					Model				
	1 (true)	Model 2	Model 3	Not Assigned		1 (true)	Model 2	Model 3	Not Assigned	
>0.5	0.49	0.1	0.01	0.4	>0.5	0.59	0.12	0.06	0.23	
>0.6	0.4	0.02	0.01	0.57	>0.6	0.54	0.07	0.03	0.36	
>0.7	0.33	0	0	0.67	>0.7	0.45	0.05	0.01	0.49	
>0.8	0.2	0	0	0.8	>0.8	0.35	0.03	0	0.62	
>0.9	0.08	0	0	0.92	>0.9	0.19	0	0	0.81	
	Model					Model				
	Model 1 (true)	2	Model 3	Not Assigned		Model 1 (true)	2	Model 3	Not Assigned	
>0.5	0.08	0.45	0.06	0.41	>0.5	0.07	0.61	0.18	0.14	
>0.6	0.03	0.33	0.01	0.63	>0.6	0.04	0.5	0.07	0.39	
>0.7	0.01	0.26	0	0.73	>0.7	0.01	0.41	0.03	0.55	
>0.8	0	0.11	0	0.89	>0.8	0	0.32	0.02	0.66	
>0.9	0	0.05	0	0.95	>0.9	0	0.17	0	0.83	
	Model					Model				
	Model 1	Model 2	Model 3 (true)	Not Assigned		Model 1	Model 2	Model 3 (true)	Not Assigned	
>0.5	0.02	0.08	0.59	0.31	>0.5	0.04	0.09	0.7	0.17	
>0.6	0	0.05	0.37	0.58	>0.6	0.02	0.06	0.61	0.31	
>0.7	0	0.02	0.16	0.82	>0.7	0	0.02	0.49	0.49	
>0.8	0	0.01	0.04	0.95	>0.8	0	0.01	0.38	0.61	
>0.9	0	0	0	1	>0.9	0	0	0.23	0.77	

## สรุปและวิจารณ์ผลการทดลอง

จากข้อมูลลำดับเบสของดีเอ็นเอในโตกอนเดรียบริเวณ HVR1 ของการศึกษาครั้งนี้ทำให้สามารถศึกษาความผันแปรทางพันธุกรรมในระดับภูมิภาค (micro-geographic level) และปัจจัยที่อาจส่งผลต่อความผันแปรทางพันธุกรรม ในกลุ่มชาติพันธุ์ที่หลากหลายของภาคตะวันออกเฉียงเหนือ โดยปัจจัยทางด้านภูมิศาสตร์ และ/หรือ ภาษา ที่อาจส่งผลต่อความผันแปรทางพันธุกรรมของประชากรในระดับภูมิภาค ทวีป และทวีโลก ยังคงเป็นคำถามที่ท้าทายต่อนัก molecular anthropologist และ นักพันธุศาสตร์มนุษย์ (Helgason *et al.*, 2004; Relethford, 2004; Jay *et al.*, 2013) ซึ่งโจทย์ปัญหาดังกล่าวยังไม่มีรายงานการศึกษาในภาคตะวันออกเฉียงเหนือ ผลการวิเคราะห์ Mantel test AMOVA SAMOVA และ ABC ซึ่งมีความสอดคล้องกันแสดงว่าปัจจัยด้านภูมิศาสตร์มีอิทธิพลต่อโครงสร้างและความสมมั้นของประชากรที่ศึกษาตามโมเดล isolation by distance (IBD) ซึ่งกล่าวว่าประชากรที่อาศัยอยู่ในพื้นที่เดียวและลักษณะภูมิศาสตร์ที่คล้ายกันจะมีพันธุกรรมที่เหมือนกันมากกว่าประชากรที่อาศัยในพื้นที่ใกล้ๆ กันไป (Wright, 1943; Slatkin, 1993) โดยลักษณะภูมิศาสตร์ของภาคตะวันออกเฉียงเหนือของประเทศไทย สามารถแบ่งเป็น 2 ส่วน คือ แอ่งที่รับโคราช (KR) ซึ่งเป็นบริเวณที่ประชากรที่พูดภาษาตระกูลอสโตรເອເຊຍີດິກ (AA) อาศัยอยู่เป็นจำนวนมาก ในขณะที่บริเวณแอ่งที่รับสกอลนคร (SN) จะมีกลุ่มประชากรที่พูดภาษาตระกูลไทย-กะได (TK) ซึ่งอพยพมาจากประเทศไทยและวียดนาม อาศัยอยู่เป็นจำนวนมาก

ในแอ่งที่รับสกอลนคร ประชากรที่ศึกษาประกอบด้วย ชาวโซ (SOA) ภูไท (PUT) ไทแซก (SAK) กะเลิง (KAL) และไถญ้อ (YOH) ซึ่ง SOA เป็นประชากรเดียวในแอ่งที่รับสกอลนครที่มีภาษาพูดจัดอยู่ในกลุ่ม AA ในขณะที่ประชากรที่เหลือพูดภาษา TT ชาวโซมีถิ่นฐานเดิมอยู่ในบริเวณแขวงคำเม่น ประเทศไทย ในปี ค.ศ. 1844 ชาวโซบางส่วนได้อพยพ เข้าสู่ดินแดนของประเทศไทย อาศัยอยู่ในเขต อ. กุสุมາລີ จากการวิเคราะห์ ABC (ภาพที่ 2) โมเดลทางวิัฒนาการที่เสนอ พบว่าชาวโซมีโครงสร้างทางพันธุกรรมที่คล้ายกับประชากรอื่นในแอ่งที่รับสกอลนคร ซึ่งสาเหตุดังกล่าวอาจเกิดจากการผสมผสานทางพันธุกรรมระหว่างชาวโซและประชากรข้างเคียงหลังจากการอพยพเข้ามาอาศัยในประเทศไทย เมื่อประมาณ 200 ปีที่ผ่านมา นอกจากนั้นการที่ SOA กับ PUT และ SOA กับ YOH มีแอปโลไทบ์ที่เหมือนกัน ถึง 6 และ 5 แอปโลไทบ์ ตามลำดับ (ตารางที่ 2) จะสนับสนุนโครงสร้างทางพันธุกรรมที่คล้ายกันของ SOA และประชากรข้างเคียง

ในขณะที่ประชากรในแอ่งที่รับสกอลนครส่วนใหญ่มีโครงสร้างทางพันธุกรรมที่คล้ายกัน ยกเว้น SAK ซึ่งมีโครงสร้างทางพันธุกรรมที่แตกต่างออกไปอย่างมาก ซึ่งสนับสนุนจากการวิเคราะห์

pairwise  $F_{st}$  (ตารางที่ 3) MPD (ตารางที่ 4) และ SAMOVA (ตารางที่ 5) จากหลักฐานตามประวัติศาสตร์ ชาวไทยและกอพยพมาจากประเทศเวียดนาม เข้าสู่ประเทศไทย ในบริเวณแขวงคำม่วน เมื่อประมาณ 380 ปีที่ผ่านมา จากนั้น SAK ได้อพยพข้ามแม่น้ำโขงเข้าสู่เขตจังหวัดนครพนม ประเทศไทย เมื่อประมาณ 200 ปีที่ผ่านมา โครงสร้างทางพันธุกรรมที่แตกต่างของ SAK อาจเกิดเนื่องจากอิทธิพลของปรากฏการณ์คอขวด (bottleneck effect) (Davis et al., 2011) ซึ่งเป็นเจเนติกดริฟท์ชนิดหนึ่ง โดยประชากรนี้อาจมีการลดจำนวนเพศหญิงลงอย่างฉับพลันในระหว่างการอพยพ จึงทำให้ประชากรสะสมความแตกต่างและความหลากหลายทางพันธุกรรมลดลง (มีความหลากหลายของเอปอลไทร์และ intra-MPD ต่ำที่สุด) นอกจากนั้นข้ออกเกติ่งสำหรับการจัดกลุ่มภาษาของ SAK โดยมีนักภาษาศาสตร์กลุ่มเดียวกันที่เชื่อว่าภาษาพูดของชาว SAK เป็นภาษา AA ตระกูลย่อymoŋy-ເບີນຣ ໃນขณะที่นักภาษาศาสตร์กลุ่มใหม่จัดภาษาแสกให้อยู่ในตระกูล TK ตระกูลย่อຍໄທເໜືອ (Smalley, 1994; Schliesinger, 2000) ผลจากการวิเคราะห์ดีเอ็นเอไม่โถกนองเดรีย พบว่า SAK มีความสัมพันธ์ทางเชื้อสายใกล้กับชาว SOA (พูด AA) มากที่สุด จากการศึกษาถึงความสัมพันธ์ระหว่างภาษาและพันธุกรรมจำนวนมาก ทำให้สามารถอนุมานว่าประชากรที่มีภาษาพูดใกล้เคียงกันจะมีโครงสร้างทางพันธุกรรมที่คล้ายกัน (Barbujani and Sokal, 1990; Cavalli-Sforza et al., 1992; Barbujani and Pilastro, 1993; Boattini et al., 2011) ดังนั้นจากการศึกษารั้งนี้พบว่าการจัดกลุ่มภาษาของชาวแสกไม่สอดคล้องกับโครงสร้างทางพันธุกรรม อย่างไรก็ตามภาพรวมของโครงสร้างทางพันธุกรรมของ SAK อาจได้รับอิทธิพลจากปัจจัยอื่นที่มีอิทธิพลมากกว่า เช่น ภูมิศาสตร์

ในแอ่งที่รับโคราช ประชากรที่ศึกษามีทั้งหมด 5 ประชากร คือเขมร (KHM) ชาวบัน (BON) ส่วย (SUY) มองย (MON) ซึ่งเป็นประชากรที่พูดภาษาตระกูลมองย-ເບີນຣ (AA) และชาวอีสาน (LAO) ซึ่งพูดภาษาตระกูลໄກ-ກະໄດ ชาวลาวอีสานหมายถึงกลุ่มคนที่มีเชื้อชาติลาว แต่มีสัญชาติไทย โดยชาวอีสานเป็นกลุ่มคนหลักที่อาศัยอยู่ในภาคตะวันออกเฉียงเหนือของประเทศไทย ตามหลักฐานทางประวัติศาสตร์ ชาวอีสานอพยพมาจากดินแดนของประเทศลาวในปัจจุบัน ในช่วงระหว่าง ค.ศ. 1827 ถึง 1870 แม้ว่าหมู่บ้านชาวลาวจะตั้งอยู่ในแอ่งที่รับโคราช แต่ประชากรดังกลับมีความสัมพันธ์ทางเชื้อสายใกล้ชิดกับประชากรในแอ่งที่รับสกلنគຽດ รูปแบบความสัมพันธ์ดังกล่าวอาจเกิดมาจากการมีต้นกำเนิดเดียวกัน และหลังจากที่อพยพเข้ามาสู่ประเทศไทย ชาวอีสานและประชากรໄກ-ກະໄດในแอ่งที่รับสกلنគຽດคงรักษาพันธุกรรมไว้เหมือนเดิม การศึกษารั้งนี้ยังขาดประชากรชาวลาวอีสานที่อยู่ในแอ่งที่รับสกلنគຽດ ดังนั้นการศึกษาพันธุกรรมของประชากร LAO ในแอ่งที่รับสกلنគຽດทำให้ทราบผลลัพธ์ของประชากรชาว LAO ได้ชัดเจนขึ้น

เป็นที่น่าสนใจว่า LAO และ KHM มีโครงสร้างทางพันธุกรรมที่ไม่แตกต่างกัน แสดงจากค่า pairwise  $F_{st}$  ที่แตกต่างกันอย่างไม่มีนัยสำคัญ (ตารางที่ 2) ผลการศึกษาดังกล่าวสอดคล้องกับงานวิจัย

ก่อนหน้านี้ ด้านพันธุศาสตร์ (Lertrit et al., 2008) และสังคมวิทยา (Smallley, 1998; Khanittanan, 2001; Talbot and Janthed, 2002) แม้ว่าผลการศึกษาครั้งนี้จะพบอิทธิพลของภูมิศาสตร์ที่มีต่อโครงสร้างทางพันธุกรรมของประชากร แต่สำหรับในพื้นที่例外ที่รามโคราช ประชากรที่ศึกษามีความแตกต่างทางพันธุกรรมในระดับหนึ่ง ซึ่งอาจอธิบายได้โดยการที่ภูมิศาสตร์ได้กำหนดให้ประชากรใน例外ที่รามโคราชมีพันธุกรรมที่เหมือนกัน แต่เมื่อระยะเวลาผ่านไปปัจจัยอื่นๆ อาจส่งผลให้ประชากรเหล่านั้นสะสมความแตกต่างของพันธุกรรม เช่น ปัจจัยทางด้านวัฒนธรรม ภาษา และแรงผลักดันทางวัฒนาการ เช่น การเกิดเจ/neolithic ผสมเมืองชีด และการผสมผสานทางพันธุกรรม

ตัวอย่างของประชากรที่อาจเกิดการผสมเมืองชีด คือชาวบัน (BON) หรือ อัญญา นักภาษาศาสตร์เชื่อว่าชาวบันเป็นกลุ่มชนดั้งเดิมที่อาศัยอยู่ในพื้นที่แห่งนี้ก่อนที่ชาวเขมรและกลุ่มคนที่พูดภาษาตระกูลไทย-กะได้ครอบครองดินแดนแห่งนี้ ชาวบันมีถิ่นที่อยู่อาศัยในประเทศไทยเท่านั้น ในเขต จ.ชัยภูมิ จ.เพชรบูรณ์ และ จ.นครราชสีมา โดยตัวอย่างของประชากรที่ศึกษาเป็นชาวบันจากบ้านหวังอ้ายโพธิ์ อ.เทพสถิตย์ จ.ชัยภูมิ ซึ่งเป็นหมู่บ้านชาวบันที่บังคับมีภาษาและวัฒนธรรมที่เป็นเอกลักษณ์ (Premsrirat, 2002; Prasert, 2009) ผลการศึกษาของพารามิเตอร์ของความหลากหลายทางพันธุกรรมที่มีค่าต่ำ เช่น  $H$  S และ intra-MPD (ตารางที่ 1) ซึ่งอาจเกิดจากสาเหตุการผสมเมืองชีดเนื่องจากประเพณีนิยมการแต่งงานภายในกลุ่ม อย่างไรก็ตาม ในปัจจุบันชาวบันมีการผสมผสานกับชาวลาวอีสานมากยิ่งขึ้น ก็อาจทำให้การมีโครงสร้างทางพันธุกรรมที่จำเพาะนี้จางหายไป การศึกษาครั้งนี้จึงเป็นการศึกษาด้านพันธุศาสตร์ครั้งแรกที่รายงานความหลากหลายทางพันธุกรรมที่ต่างในชาวบันจากบ้านหวังอ้ายโพธิ์ นอกจากนั้นนักภาษาศาสตร์ระบุว่าภาษาพูดของชาวบันเป็นภาษาเดียวกันภาษาโมญโดยรวม ตั้งแต่สมัยทวารวดี ดังนั้นถ้าใช้หลักว่าประชากรที่มีภาษาพูดใกล้เคียงกันจะมีโครงสร้างทางพันธุกรรมที่คล้ายกัน ก็คาดว่า BON และ MON จะมีความสัมพันธ์ทางเชื้อสายใกล้ชิดกัน แต่ผลการศึกษาครั้งนี้กลับตรงกันข้าม กล่าวคือ จะพบว่า BON และ MON มีระยะห่างทางพันธุกรรมที่ห่างกัน จึงสามารถสรุปได้ว่าชาวโมญ จาก จ.นครราชสีมา และชาวบันจาก จ.ชัยภูมิไม่มีความสัมพันธ์ทางเชื้อสายกัน

ชาวโมญ (MON) เป็นกลุ่มประชากรหนึ่งที่มีความเก่าแก่ที่สุดในประวัติศาสตร์ของภูมิภาค เอเชียตะวันออกเฉียงใต้ ซึ่งต้นกำเนิดของชาวโมญยังไม่สามารถระบุได้ชัดเจน เชื่อว่าในสมัยก่อนชาวโมญอาศัยอยู่ในบริเวณพื้นที่ประเทศไทยตอนใต้ในปัจจุบัน จากนั้นได้อพยพมาครอบครองดินแดนตอนบนของประเทศไทยมาในปัจจุบัน ในช่วงต้นของคริสต์ศักราช จากนั้นด้วยเหตุผลทางการเมืองได้ถูกขับไล่ ชาวโมญส่วนหนึ่งอพยพลงมาทางตอนใต้และอาศัยอยู่บริเวณเมืองพระโศ หรือหงสาวดี (Pegu) และเมืองสะเทิง (Thaton) ของประเทศไทย และชาวโมญอีกส่วนอพยพมาทางทิศตะวันออก และครอบครองดินแดนทางภาคกลางและภาคใต้ของประเทศไทยในปัจจุบัน อาณาจักรทวารวดีของชาว

มอง ถูกสร้างขึ้นประมาณศตวรรษที่ 3 และรุ่งเรืองจนถึงศตวรรษที่ 10 ในบริเวณตอนกลางของประเทศไทย (Schliesinger, 2000) อาณาจักรทวาราวดีได้แพร่ขยายไปทั่วทุกสารทิศ ทั้งภาคเหนือและภาคใต้ของประเทศไทยในปัจจุบัน จนกระทั่งในปี ค.ศ. 1775 ชาวมอญกลุ่มหนึ่งได้อพยพมาจากประเทศพม่า เข้ามาอาศัยอยู่ในบริเวณจ.นครราชสีมา จนกระทั่ง ในปี ค.ศ. 1793 จ.นครราชสีมา มีชาวมอญอาศัยอยู่ประมาณ 2,500 คน จากประวัติศาสตร์การอพยพ MON ที่ศึกษาครั้งนี้มาจากการอพยพจากประเทศพม่า ดังนั้นการไม่พบความสัมพันธ์ทางเชื้อสายระหว่าง MON และ BON จึงน่าจะมีสาเหตุมาจากชาวมอญในพม่าและชาวมอญในอาณาจักรทวาราวดี มีพันธุกรรมที่แตกต่างกันมาตั้งแต่อดีต สิ่งที่นำสันใจคือผลการศึกษาทางด้านพันธุศาสตร์ครั้นนี้ยังพบว่าชาว MON มีค่า  $\pi_{intra-MPD}$  และจำนวนของแอปโลปีโลพาทีต่ำ (ตารางที่ 1) และยังแสดงการมีการเพิ่มข่ายขนาดของประชากร (ตารางที่ 1 และภาพที่ 4) ดังนั้นประชากร MON จึงน่าจะเกิดปรากฏการณ์คอขอด (bottleneck) และหลังจากนั้นมีการเพิ่มข่ายขนาดของประชากรอย่างรวดเร็ว

ชาวส่วย (SUY) เป็นกลุ่มชาติพันธุ์ที่พูดภาษาออສណตรເວເຊີຍຕົກ ກුລ່ມຍ່ອຍອມອຸນຸ-ເຂມຣອືກກຸລ່ມ หนึ่งในบริเวณภาคตะวันออกเฉียงเหนือตอนใต้ ผลการศึกษาพบว่า SUY มีความใกล้ชิดทางพันธุกรรม กับ KHM และ BON (ตารางที่ 3 และภาพที่ 5) สอดคล้องกับหลักฐานทางประวัติศาสตร์ ภาษา และสังคม ที่ระบุความสัมพันธ์ที่ใกล้ชิดกันระหว่าง SUY และ KHM ชาวส่วยหรือกุย (Kui) หรือ ชาวเขมร เรียกว่าแซแมร์-บอร์น (แปลว่าเขมรโบราณ) เป็นประชากรดั้งเดิมที่อาศัยอยู่ในพื้นที่ของประเทศไทย ลาว และกัมพูชาในปัจจุบัน ก่อนที่ชาวเขมรและไทย-กะได้ครอบครองดินแดนแห่งนี้ ชาวส่วยที่ศึกษา อาศัยอยู่ในจังหวัดสุรินทร์ซึ่งอพยพมาจากประเทศไทยจำนวน 2 ช่วง คือ ระหว่างปี ค.ศ. 1656-1688 และ การอพยพอีกจำนวนมาก ในปี ค.ศ. 1760 ในปัจจุบันชาวส่วยที่อาศัยอยู่ในภาคตะวันออกเฉียงเหนือของประเทศไทย ได้รับເຄາກພູດຂອງชาวลาວເກີສານແລະເຂມຣ ໂດຍชาวส่วยທີ່ສາມາດພູດພາກພາກໄລວໄດ້ ເຮັດວຽກ ເປົ້າສ່ວຍ ດັ່ງນັ້ນການທີ່ชาวສ່ວຍມີ ໂຄງຮສ້າງທາງພັນຫຼຸກຮ່ມໄກລັກັບພາກພາກເຂມຣໄດ້ ເຮັດວຽກ ເຂມຣສ່ວຍ ດັ່ງນັ້ນການທີ່ชาวສ່ວຍມີ ໂຄງຮສ້າງທາງພັນຫຼຸກຮ່ມໄກລັກັບພາກພາກເຂມຣໄດ້ ເຮັດວຽກ ເປົ້າສ່ວຍ ໄດ້ມີຄວາມສັບສົນສະມັດຮູານດັ່ງກ່າວ

งานวิจัยนี้ทำการศึกษาโครงสร้างและความผันแปรทางพันธุกรรมของหลายกลุ่มชาติพันธุ์ที่อาศัยอยู่ในภาคตะวันออกเฉียงเหนือของประเทศไทย ผลการวิเคราะห์ทางพันธุศาสตร์พบว่าปัจจัยทางด้านภูมิศาสตร์มีอิทธิพลต่อความผันแปรทางพันธุกรรมของประชากรที่ศึกษา โดยประชากรที่อาศัยอยู่ในแอ่งที่ราบเดียวกันจะมีความสัมพันธ์ทางเชื้อสายใกล้ชิดกัน โดยเฉพาะประชากรที่อาศัยอยู่ในแอ่งที่ราบสก隆นคร อย่างไรก็ตามภายในแอ่งที่ราบเดียวกัน โครงสร้างทางพันธุกรรมของประชากรได้ถูก

กำหนดโดยปัจจัยทางด้านภาษาและวัฒนธรรม รวมทั้งแรงผลักดันทางวิวัฒนาการ เช่น เจเนติกดรีฟท์ การผสมลือดชิด และการผสมผสานทางพันธุกรรม

### ข้อเสนอแนะสำหรับงานวิจัยในอนาคต

การศึกษาครั้งนี้อาศัยเพียงเครื่องหมายทางพันธุกรรมจากดีเอ็นเอไม่โทคอนเดรีย ซึ่งมีการถ่ายทอดผ่านทางฝ่ายหญิงเท่านั้น ในอนาคตผลการศึกษาจากเครื่องหมายทางพันธุกรรมชนิดอื่น เช่น โครโมโซมวาย และดีเอ็นเอบนօอโตโซมจะช่วยให้การศึกษาพันธุศาสตร์ประชากรของมนุษย์ในประชากรภาคตะวันออกเฉียงเหนือของประเทศไทยมีความสมบูรณ์มากยิ่งขึ้น

### เอกสารอ้างอิง

- Alfonso-Sánchez, M.A., Cardoso, S., Martínez-Bouzas, C., Peña, J.A., Herrera, R.J., Castro, A. *et al.* Mitochondrial DNA haplogroup diversity in Basques: a reassessment based on HVI and HVII polymorphisms. *Am. J. Hum. Biol.* **20**(2), 154-164 (2008).
- Andrews, R.M., Kubacka, I., Chinnery, P.F., Lightowers, R.N., Turnbull, D.M. & Howell, N. Reanalysis and revision of the Cambridge reference sequence for human mitochondrial DNA. *Nat. Genet.* **23**, 147 (1999).
- Barbujani, G. & Sokal, R.R. Zones of sharp genetic change in Europe are also linguistic boundaries. *Proc. Natl. Acad. Sci. USA.* **87**, 1816-1819 (1990).
- Barbujani, G. & Pilastro, A. Genetic evidence on origin and dispersal of human populations speaking languages of the Nostratic Macro family. *Proc. Natl. Acad. Sci. USA.* **90**(10), 4670-4673 (1993).
- Barbujani, G. Geographic patterns: how to identify them and why. *Hum. Biol.* **72**, 133-153 (2000).
- Beaumont, M. Joint determination of topology, divergence time and immigration. in *Simulation, Genetics, and Human Prehistory* (eds Matsumura, S., Forster, P. & Renfrew, C.) 135-154 (McDonald Institute for Archaeological Research, Cambridge, England, 2008)
- Bertorelle, G., Benazzo, A. and Mona, S. ABC as a flexible framework to estimate demography over space and time: some cons, many pros. *Mol. Ecol.* **19**(13), 2609-2625 (2010).

- Besaggio, D., Fuselli, S., Srikuammool, M., Kampuansai, J., Castri, L., Tyler-Smith, C. *et al.* Genetic variation in Northern Thailand Hill Tribes: origins and relationships with social structure and linguistic differences. *BMC Evol. Biol.* **7 (Suppl 2)**, S12 (2007).
- Boattini, A., Griso, C. & Pettener, D. Linguistic versus genetic isolation. The strange case of the Walser from Upper Lys Valley (Italian Western Alps). *J. Anthropol. Sci.* **89**, 161-175 (2011).
- Boonsoda, P., Srithawong, S., Srikuaka, S., Kutanan, W. 2013. Mitochondrial DNA variation of the Khmer in Surin Province, Thailand. *Thai J. Genet.* **6(1)**: 40-48 (in Thai).
- Budowle, B., Allard, M.W., Wilson, M.R. & Chakraborty, R. Forensics and mitochondrial DNA: applications, debates, and foundations. *Annu. Rev. Genomics. Hum. Genet.* **4**, 119-141 (2003).
- Cavalli-Sforza, L.L., Minch, E. & Mountain, J.L. Coevolution of genes and languages revisited. *Proc. Natl. Acad. Sci. USA.* **89**, 5620-5624 (1992).
- Cavalli-Sforza, L.L., Menozzi, P. & Piazza A. *The history and geography of human genes* (Princeton University Press, Princeton, USA, 1994).
- Coia, V., Boschi, I., Trombetta, F., Cavulli, F., Montinaro, F., Destro-Bisol, G. *et al.* Evidence of high genetic variation among linguistically diverse populations on a micro-geographic scale: a case study of the Italian Alps. *J. Hum. Genet.* **57(4)**, 254-260 (2012).
- Cavalli-Sforza L.L. and Feldman M.W. 2003. The application of molecular genetic approaches to the study of human evolution. *Nat. Genet.* **33(Suppl.)**: 266-275.
- Davis, M.C., Novak, S.J. & Hampikian, G. Mitochondrial DNA analysis of an immigrant Basque population: Loss of diversity due to founder effects. *Am. J. Phys. Anthropol.* **144(4)**, 516-525 (2011).
- Dupanloup, I., Schneider, S. & Excoffier, L. A simulated annealing approach to define the genetic structure of populations. *Mol. Eco.* **11**, 2571-2581 (2002).
- Eller, E. Population substructure and isolation by distance in three continent regions. *Am. J. Phys. Anthropol.* **108**, 147-159 (1999).
- Excoffier, L., Smouse, P. & Wuattro, J. Analysis of molecular variance inferred from metric distance among DNA haplotypes: application to human mitochondrial DNA restriction data. *Genetics.* **131**, 479-491 (1992).

- Excoffier, L. & Lischer, H.E.L. Arlequin suite ver 3.5: A new series of programs to perform population genetics analyses under Linux and Windows. *Mol. Eco. Res.* **10**, 564-567 (2010).
- Fucharoen, G., Fucharoen, S. & Horai, S. Mitochondrial DNA polymorphisms in Thailand. *J. Hum. Genet.* **46**, 115-125 (2001).
- Fu, Y.X. Statistical tests of neutrality of mutations against population growth, hitchhiking and background selection. *Genetics*. **147**, 915-925 (1997).
- Greenberg, B.D., Newbold J.E. and Sugino A. 1983. Intraspecific nucleotide sequence variability surrounding the origin of replication in human mitochondrial DNA. *Gene*, **21**, 33-49.
- Harpending, H.C. Signature of ancient population growth in a low-resolution mitochondrial DNA mismatch distribution. *Hum. Biol.* **66**, 591-600 (1994).
- Helgason, A., Yngvadóttir, B., Hrafnkelsson, B., Gulcher, J. & Stefa'nsson, K. An Icelandic example of the impact of population structure on association studies. *Nat. Genet.* **37**, 90-95 (2004).
- Jay, F., Sjödin, P., Jakobsson, M. & Blum, M.G. Anisotropic isolation by distance: the main orientations of human genetic differentiation. *Mol. Biol. Evol.* **30**(3), 513-525 (2013).
- Khanittanan, W. Khmero-Thai: the great change in the history of Thai Language in the Chao Praya basin. *J. Language and Linguistics*. **19**(2), 35-50 (2001).
- Kutanan, W., Kampuansai, J., Nakbunlung, S., Lertvicha, P., Seielstad, M., Bertorelle, G. et al. Genetic structure of KhonMueang populations along a historical Yuan migration route in Northern Thailand. *Chiang Mai J. Science*. **38**(2), 295-305 (2011a).
- Kutanan, W., Kampuansai, J., Fuselli, S., Nakbunlung, S., Seielstad, M., Bertorelle, G. et al. Genetic structure of the Mon-Khmer speaking groups and their affinity to the neighbouring Tai populations in Northern Thailand. *BMC Genet.* **12**: 56 (2011b).
- Kutanan, W., Srithawong, S., Kamlao, A. & Kampuansai, J. Mitochondrial DNA-HVR1 Variation Reveals Genetic Heterogeneity in Thai-Isan Peoples from the Lower Region of Northeastern Thailand. *Adv. Anthropol.* **4**(1), 7-12 (2014).
- 
- Lertrit, P., Poolsuwan, S., Thosarat, R., Sanpachudayan, T., Boonyarit, H., Chinpaisal, C. et al. Genetic history of Southeast Asian populations as revealed by ancient and modern human mitochondrial DNA analysis. *Am. J. Phys. Anthropol.* **137**, 425-440 (2008).

- Lewis, M.P. *Ethnologue: Languages of the World* 16th edn. (SIL International, Dallas, Texas, USA, 2009) Online version: <http://www.ethnologue.com/>.
- Librado, P. & Rozas, J. DnaSP v5: A software for comprehensive analysis of DNA polymorphism data. *Bioinformatics*. **25**, 1451-1452 (2009).
- Mantel N. 1967. The detection of disease clustering and a generalized regression approach. *Cancer Res* **27**: 209-220.
- Malyarchuk, B.A., Perkova, M.A., Derenko, M.V., Vanecek, T., Lazur, J. & Gomolcak, P. Mitochondrial DNA Variability in Slovaks, with Application to the Roma Origin. *Ann. Hum. Genet.* **72**, 228-240 (2008).
- Nei, M. *Molecular Evolutionary Genetics* (Columbia University Press, New York, USA, 1987)
- Pakendorf, B. & Stoneking, M. Mitochondrial DNA and human evolution. *Ann. Rev. Genomics. Hum. Genet.* **6**, 165-183 (2005).
- Pardiñas, A.F., Roca, A., García-Vazquez, E. & López, B. Assessing the Genetic Influence of Ancient Sociopolitical Structure: Micro-differentiation Patterns in the Population of Asturias (Northern Spain). *PLoS ONE*. **7(11)**, e50206 (2012).
- Prasert, S., Pansila, V. & Lasunon, O. Guidelines and Methods for Conservation, Revitalization and Development of the Traditions and Customs of NyahKur Ethnic Group for Tourism in the Province of Chaiyapum in Northeast Thailand. *The Social Sciences*. **4**, 174-179 (2009).
- Premsrirat, S. The Future of Nyah Kur. in *Collected papers on Southeast Asian and Pacific languages* (eds Bauer, R.S.) 155-165 (The Australian University, Canberra, Australia, 2002).
- Pritchard, J.K., Seielstad, M.T., Perez-Lezaun, A. & Feldman, M.W. Population growth of human Y chromosomes: a study of Y chromosome microsatellites. *Mol. Biol. Evol.* **16(12)**, 1791-1798 (1999).
- Rogers, A.R. & Harpending, H. Population growth makes waves in the distribution of pairwise genetic differences. *Mol. Biol. Evol.* **9(3)**, 552-569 (1992).
- Relethford, J.H. Global Pattern of Isolation by distance based on genetic and morphological data. *Hum. Biol.* **76(4)**, 499-513 (2004).

- Sa-ard, O. *Phrase to sentence in Kuay (Surin)* (Mahidol University, Nakorn Pathom, Thailand, 1984).
- Schliesinger, J. *Ethnic groups of Thailand: Non-Tai-speaking peoples* (White Lotus Press, Bangkok, Thailand, 2000)
- Schliesinger, J. *Tai Group of Thailand, Volume 1: Introduction and overview* (White Lotus Press, Bangkok, Thailand, 2001)
- Schurr, T.G., Sukernik, R.I., Starikovskaya, Y.B. & Wallace D.C. Mitochondrial DNA variation in Koryaks and Itel'men: population replacement in the Okhotsk sea-Bering sea region during the Neolithic. *Am. J. Phys. Anthropol.* **108**, 1-39 (1999).
- Slatkin, M. Isolation by distance in equilibrium and nonequilibrium populations. *Evolution*. **47**, 264-279 (1993).
- Smalley, W.A. *Linguistic Diversity and National Unity: Language Ecology in Thailand* (University of Chicago Press, Chicago, USA, 1994).
- Smalley, W. A. 1994. *Linguistic Diversity and National Unity: Language Ecology in Thailand*. University of Chicago Press, Chicago.
- Smalley, W.A. Multilingualism in the Northern Khmer population of Thailand. *Language. Sci.* **10**(2), 395-408 (1988).
- Tajima, F. Statistical Method for Testing the Neutral Mutation Hypothesis by DNA Polymorphism. *Genetics*. **123**, 585-595 (1989).
- Talbot, S. & Janthed, C. Northeast Thailand before Angkor: Evidence from an Archaeological Excavation at the Prasat Hin Phimai. *Asia Perspectives*. **40** (2), 179-194 (2002).
- Tishkoff, S.A. & Kid, K.K. Implications of biogeography of human populations for 'race' and medicine. *Nat. Genet.* **36**, S21-S27 (2004).
- Torroni, A., Achilli, A., Macaulay, V., Richards, M. & Bandelt, H.J. Harvesting the fruit of the human mtDNA tree. *Trends Genet.* **22**, 339-345 (2006).
- Wegmann, D., Leuenberger, C., Neuenschwander, S. & Excoffier, L. ABCtoolbox: a versatile toolkit for approximate Bayesian computations. *BMC bioinformatics*. **11**, 116 (2010).
- Wongtaed, S. *Explore Isan Society and Cultures* (Art and culture Press, Bangkok, Thailand, 1999) (in Thai)
- Wright, S. Isolation by distance. *Genetics*. **28**, 114-138 (1943).

- Zerjal, T., Beckman, L., Beckman, G., Mikelsaar, A.V., Krumina, A., Kucinskas, V. *et al.* Geographical, Linguistic and Cultural Influences on Genetic Diversity: Y-Chromosomal Distribution in Northern European Populations. *Mol. Biol. Evo* 1. **8(6)**, 1077-1087 (2001).
- Zerjal, T., Xue, Y., Bertorelle, G., Wells, R.S., Bao, W., Zhu, S. *et al.* The genetic legacy of the Mongols. *Am. J. Hum. Genet.* **72(3)**, 717-721 (2003).